

нии длины высокоэластичного несжимаемого тела на 46 % величины фазовых скоростей первой и второй мод обращаются в нуль. Это свидетельствует о том, что в условиях плоского напряженно-деформированного начального состояния для высокоэластичного несжимаемого неогуковского тела при  $\lambda_1 \approx 0,54$  возникает явление поверхностной неустойчивости. Отметим, что это значение совпадает с ранее полученной величиной в теории устойчивости и соответствует значению параметра критического укорочения  $\lambda_{кр}$ .

Вычисления показали, что в гидроупругом волноводе фазовая скорость первой моды обращается в нуль при  $\lambda_1 \approx 0,543695$ . Это свидетельствует о том, что в условиях плоского напряженно-деформированного начального состояния поверхность упругого слоя гидроупругой системы, контактирующая со слоем жидкости, при  $\tilde{\lambda}_{кр} = \lambda_1 \approx 0,543695$  теряет поверхностную устойчивость. У второй поверхности упругого слоя, которая является свободной, явление поверхностной неустойчивости возникает при  $\lambda_{кр} = \lambda_1 \approx 0,543694$ . Эти различия между  $\tilde{\lambda}_{кр}$  и  $\lambda_{кр}$  свидетельствуют о том, что наличие слоя идеальной сжимаемой жидкости приводит к понижению порога поверхностной неустойчивости гидроупругого волновода и возникновению ее раньше при меньшем сжатии  $\tilde{\lambda}_{кр} > \lambda_{кр}$ .

Таким образом, развитая линеаризованная теория волн применительно к высокоэластичным несжимаемым телам позволяет исследовать волновые процессы не только в общем и ряде частных случаев, а также возможность и условия возникновения явления поверхностной неустойчивости как в упругом слое, так и в гидроупругой системе.

#### Список литературы

- 1 Гузь, А. Упругие волны в телах с начальными (остаточными) напряжениями : в 2 ч. / А. Гузь. – Saarbrücken : LAP LAMBERT Academic Publishing, 2016.
- 2 Guz, A. N. Dynamics of compressible viscous fluid / A. N. Guz. – Cambridge : Cambridge Scientific Publishers, 2009. – 428 p.

УДК 62.752, 621:534;833; 888.6, 629.4.015;02

## СПОСОБ НАСТРОЙКИ ДИНАМИЧЕСКОГО СОСТОЯНИЯ ТРАНСПОРТНЫХ СРЕДСТВ ПРИ ПОМОЩИ РЫЧАЖНЫХ МЕХАНИЗМОВ

*Р. С. БОЛЬШАКОВ, А. В. НИКОЛАЕВ*

*Иркутский государственный университет путей сообщения, Российская Федерация*

**Введение.** Для стабильной эксплуатации транспортных средств при действии вибрационных нагрузений в современных условиях необходим контроль над их динамическим состоянием [1–3]. Одним из наиболее широко используемых методов является динамическое гашение колебаний [4], которое может быть получено при помощи введения в систему специальных устройств.

В предлагаемом докладе рассматриваются возможности настройки динамического состояния механической колебательной системы с твердым телом на упругих опорах с помощью дополнительно введенного рычажного механизма с дополнительной массой.

**I. Общие положения. Постановка задачи.** Рассматривается расчетная схема в виде механической колебательной системы с твердым телом на упругих опорах с дополнительно присоединенным динамическим гасителем колебания (рисунок 1, а). Возмущение представлено периодической силой  $Q_1$  (гармоническое воздействие). Введены следующие обозначения:  $y_0$  – колебания центра тяжести рабочего органа 1;  $M$  – масса твердого тела;  $J$  – момент инерции;  $y_1, y_2$  – координаты движения твердого тела;  $y_{в.о}, y_A$  – линейные колебания крепления динамического гасителя;  $\varphi$  – угловое колебание твердого тела;  $\varphi_1$  – угловое колебание динамического гасителя 10; т.  $O$  – центр тяжести; т.  $A$  – точка крепления неподвижной части динамического гасителя к твердому телу; т.  $B$  – точка крепления упругого элемента динамического гасителя к твердому телу;  $l_0$  – расстояние между крайними точками динамического гасителя;  $k_1, k_2, k_3$  – жесткости упругих элементов.

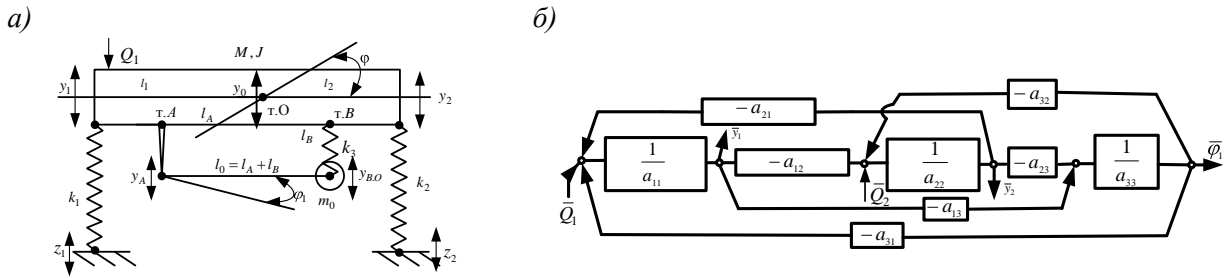


Рисунок 1 – Расчетная (а) и структурная (б) схемы системы с твердым телом с динамическим гасителем

После построения и трансформации структурной схемы системы ( $p = j\omega$  – комплексная переменная) (рисунок 2, б) и набора дифференциальных уравнений математическая модель примет вид, показанный в таблице 1.

Таблица 1 – Коэффициенты дифференциальных уравнений системы\*

$a_{11}$	$a_{12}$	$a_{13}$
$Ma^2 + Jc^2 + m_0 a_1^2 p^2 + k_1 + a_2^2 k_3$	$Mab - Jc^2 + m_0 a_1 b_1 p^2 - k_3 a_2^2$	$m_0 a_1 l_0 p^2 - k_3 a_2 l_0$
$a_{21}$	$a_{22}$	$a_{23}$
$Mab - Jc^2 + m_0 a_1 b_1 p^2 - k_3 a_2^2$	$Mb^2 + Jc^2 + m_0 b_1^2 p^2 + k_2 + k_3 a_2^2$	$m_0 b_1 l_0 p^2 + k_3 a_2 l_0$
$a_{31}$	$a_{32}$	$a_{33}$
$m_0 a_1 l_0 p^2 - k_3 a_2 l_0$	$m_0 b_1 l_0 p^2 + k_3 a_2 l_0$	$m_0 l_0^2 p^2 + k_3 l_0^2$
Обобщенные силы		
$\bar{Q}_1$	0	0

\*  $a = \frac{l_2}{l_1 + l_2}$ ;  $b = \frac{l_1}{l_1 + l_2}$ ;  $c = \frac{1}{l_1 + l_2}$ ;  $a_1 = a + l_A c$ ;  $b_1 = b - l_A c$ ;  $a_2 = -c(l_A + l_B)$ ;  $l_0 = l_A + l_B$ .

**II. Особенности динамических свойств системы при перемещении динамического гасителя колебаний.** Оценка динамического состояния исследуемой механической колебательной системы может быть произведена при помощи построения передаточных функций системы по координатам  $y_1$  и  $y_2$ , которые можно получить после использования формул Крамера [2]. Оптимальный режим работы транспортного средства достигается при достижении соотношения координат  $y_2/y_1 = 1$  и поддержание такого режима возможно при изменении параметров дополнительной массы  $m_0$  и положения динамического гасителя колебаний. Графики зависимостей  $\omega_{дин}$  при различных значениях этих параметров приведены на рисунке 2.

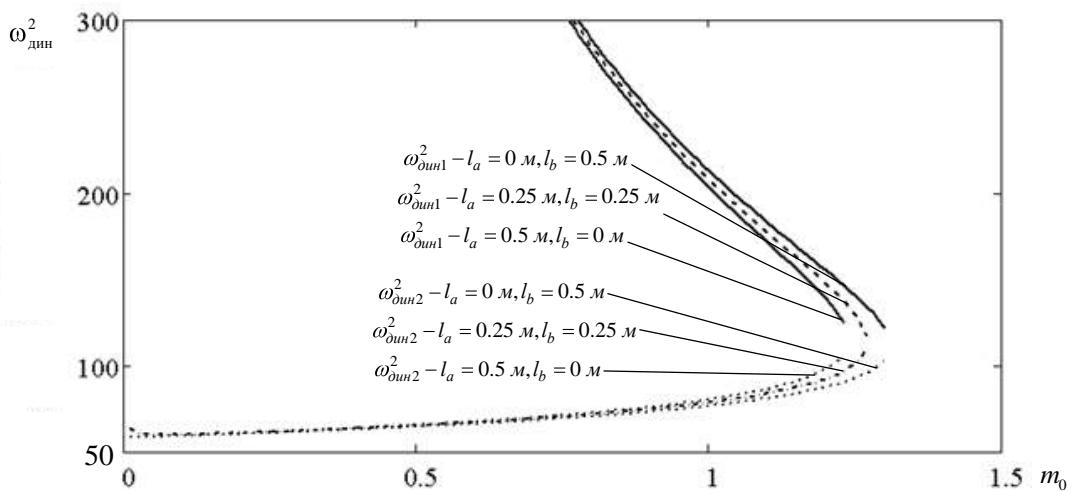


Рисунок 2 – Семейство частотных диаграмм при соотношении координат  $y_2/y_1 = 1$

**Заключение.** Анализ передаточных функций показывает, что, несмотря на насыщенность переменными и сложности их структуры, контроль над динамическими свойствами системы возможен за счет подбора параметров, к примеру, изменения значения дополнительной массы или положения динамического гасителя колебаний, что позволит регулировать значения частот динамического гашения колебаний.

#### Список литературы

- 1 Фролов, К. В. Прикладная теория виброзащитных систем / К. В. Фролов, Ф. А. Фурман. – М. : Машиностроение, 1985. – 286 с.
- 2 Елисеев, С. В. Мехатронные подходы в динамике механических колебательных систем / С. В. Елисеев, Ю. И. Резник, А. П. Хоменко. – Новосибирск : Наука, 2011. – 384 с.
- 3 Елисеев, С. В. Динамическое гашение колебаний: концепция обратной связи и структурные методы математического моделирования / С. В. Елисеев, А. П. Хоменко. – Новосибирск : Наука, 2014. – 357 с.
- 4 Концепция обратной связи в динамике механических систем и динамическое гашение колебаний [Электронный ресурс] / С. В. Елисеев [и др.] // technomag.edu.ru: Наука и образование: электронное научно-техническое издание. – № 5. – 2012. – Режим доступа: <http://technomag.edu.ru/doc/378353.html>. – Дата доступа : 10.05.2012.

УДК 539.3

### ВОЛНОВОЕ ПОЛЕ ДВАЖДЫ УСЕЧЕННОГО УПРУГОГО КОНУСА ПОД ДЕЙСТВИЕМ КРУТЯЩЕГО МОМЕНТА

*Н. Д. ВАЙСФЕЛЬД, К. Д. МЫСОВ*

*Одесский национальный университет им. И. И. Мечникова, Украина*

Рассматривается упругий дважды усеченный конус, занимающий поверхность, описываемую в сферической системе координат соотношениями  $a < r < b, -\pi \leq \varphi < \pi, -\omega \leq \theta \leq \omega$ .

Верхний торец конуса  $r = b, -\pi \leq \varphi < \pi, -\omega \leq \theta \leq \omega$  закреплен:

$$w(b, \theta, t) = 0. \quad (1)$$

На конической поверхности тела  $a \leq r \leq b, -\pi \leq \varphi < \pi, \theta = \omega$  касательные напряжения считаются равными нулю:

$$\left( \frac{\partial w(r, \omega, t)}{\partial \theta} - w(r, \omega, t) \operatorname{ctg} \theta \right) \Big|_{\theta=\omega} = 0. \quad (2)$$

На нижнем торце конуса  $r = a, -\pi \leq \varphi < \pi, -\omega \leq \theta \leq \omega$  к абсолютно жесткой накладке, сцепленной с торцом, приложен крутящий момент

$$w(a, \theta, t) = \alpha(t) l \sin \theta, \quad l = b - a, \quad (3)$$

где  $\alpha(t)$  – неизвестный угол поворота, который найден в дальнейшем из уравнения движения накладки

$$2\pi a^3 \int_0^{\omega} \sin^2 \theta \tau_{r\varphi}(a, \theta, t) d\theta + MH(t) - \alpha''(t)J = 0, \quad (4)$$

$J$  – момент инерции накладки,  $H(t)$  – функция Хэвисайда.

Требуется найти волновое поле, удовлетворяющее краевым условиям (1)–(3) и уравнению кручения

$$(r^2 w'(r, \theta, t))' + \frac{(\sin \theta w''(r, \theta, t))'}{\sin \theta} - \frac{w(r, \theta, t)}{\sin^2 \theta} = \frac{r^2}{c^2} \frac{\partial^2 w(r, \theta, t)}{\partial t^2} \quad (5)$$

при нулевых начальных условиях ( $w(r, \theta, t) = u_\varphi(r, \theta, t)$ ; штрих над символом обозначает производную по первой переменной, точка над символом – производную по второй переменной).